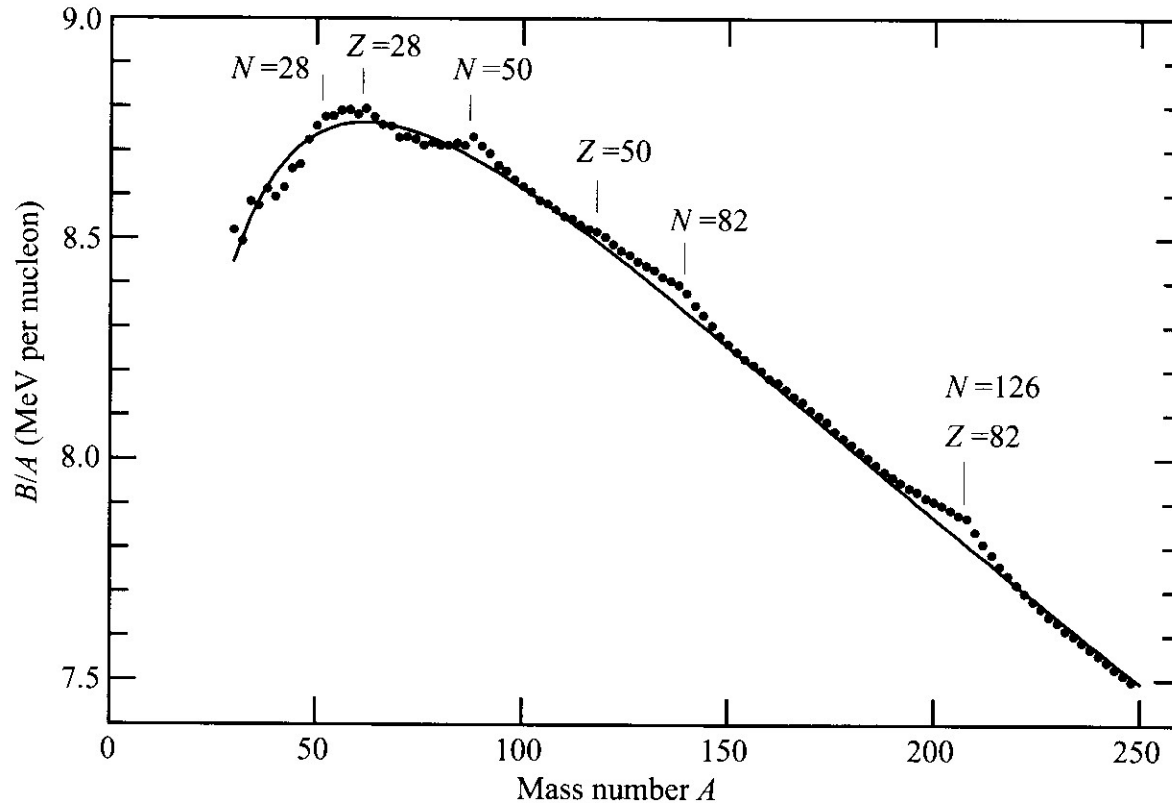


前回の復習

原子核の核子1つあたりの束縛エネルギー = B/A



半経験的な質量公式 (液滴模型: 原子核を古典的な液滴の球と仮定)

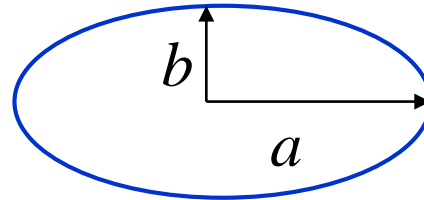
$$B(N, Z) = a_v A - a_s A^{2/3} - a_c \frac{Z^2}{A^{1/3}} - a_{\text{sym}} \frac{(N - Z)^2}{A}$$

原子核の表面振動・核分裂

$$B(N, Z) = a_v A - a_s A^{2/3} - a_c \frac{Z^2}{A^{1/3}} - a_{\text{sym}} \frac{(N - Z)^2}{A}$$

原子核を**体積一定のまま**変形してみるとどうなるか(原子核は体積を変えるのが大変なので)?

例) 回転楕円体



$$\begin{aligned} a &= R \cdot (1 + \epsilon) \\ b &= R \cdot (1 + \epsilon)^{-1/2} \\ ab^2 &= R^3 = \text{一定} \end{aligned}$$

変形したときのエネルギー変化:

- 体積項、対称項: 変化せず
- 表面項: 損をする(表面積が大きくなるため)
- クーロン項: 得をする(平均的な陽子間距離が大きくなるため)

$\left\{ \begin{array}{ll} \text{表面項} & \rightarrow \text{球形になる傾向} \\ \text{クーロン項} & \rightarrow \text{変形になる傾向} \end{array} \right\} \rightarrow \text{2つの力の競合}$

□ 表面項

$$E_S(\epsilon) = \underbrace{\sigma}_{\text{表面張力}} \underbrace{\int_S dS}_{\text{表面積分}} \sim E_S^{(0)} \left(1 + \frac{2}{5}\epsilon^2 - \frac{4}{105}\epsilon^3 + \dots \right)$$

損

表面張力 表面積分

$$4\pi R^2 \sigma \propto A^{2/3}$$

$$E_S^{(0)} = +a_S A^{2/3}$$

□ クーロン項

$$E_C(\epsilon) = \frac{1}{2} \int d\mathbf{r} d\mathbf{r}' \frac{e^2}{|\mathbf{r} - \mathbf{r}'|} \rho(\mathbf{r}) \rho(\mathbf{r}') \\ \sim E_C^{(0)} \left(1 - \frac{1}{5}\epsilon^2 - \frac{4}{105}\epsilon^3 + \dots \right)$$

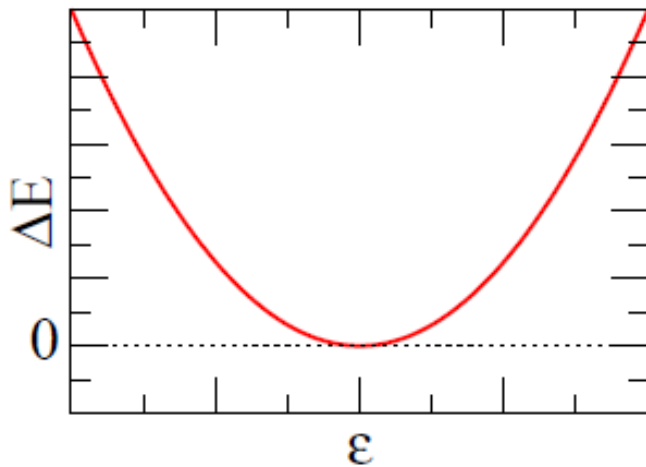
得

$$E_C^{(0)} = +a_C Z^2 / A^{1/3}$$

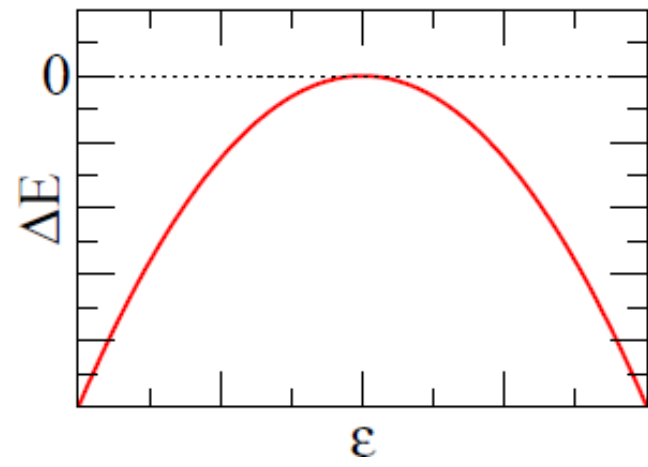
$$\begin{aligned}
 & \curvearrowright E_S + E_C - E_S^{(0)} - E_C^{(0)} \\
 & = \left(\frac{2}{5} E_S^{(0)} - \frac{1}{5} E_C^{(0)} \right) \epsilon^2 - \frac{4}{105} \left(E_S^{(0)} + E_C^{(0)} \right) \epsilon^3 + \dots
 \end{aligned}$$

■ まずは2次から

$$\frac{2}{5} E_S^{(0)} > \frac{1}{5} E_C^{(0)} \quad \text{だと}$$



$$\frac{2}{5} E_S^{(0)} < \frac{1}{5} E_C^{(0)} \quad \text{だと}$$



→ 核分裂に対して不安定

フィシリティ・パラメーター

$$\frac{2}{5} E_S^{(0)} - \frac{1}{5} E_C^{(0)} = \frac{2}{5} E_S^{(0)} \left(1 - \frac{E_C^{(0)}}{2E_S^{(0)}} \right) \equiv \frac{2}{5} E_S^{(0)} (1 - x)$$

$$\begin{aligned}
 & \curvearrowright E_S + E_C - E_S^{(0)} - E_C^{(0)} \\
 & = \left(\frac{2}{5} E_S^{(0)} - \frac{1}{5} E_C^{(0)} \right) \epsilon^2 - \frac{4}{105} \left(E_S^{(0)} + E_C^{(0)} \right) \epsilon^3 + \dots
 \end{aligned}$$

■ まずは2次から

$$\frac{2}{5} E_S^{(0)} - \frac{1}{5} E_C^{(0)} = \frac{2}{5} E_S^{(0)} \left(1 - \frac{E_C^{(0)}}{2E_S^{(0)}} \right)$$

フィシリティ(fissility)パラメーター: x

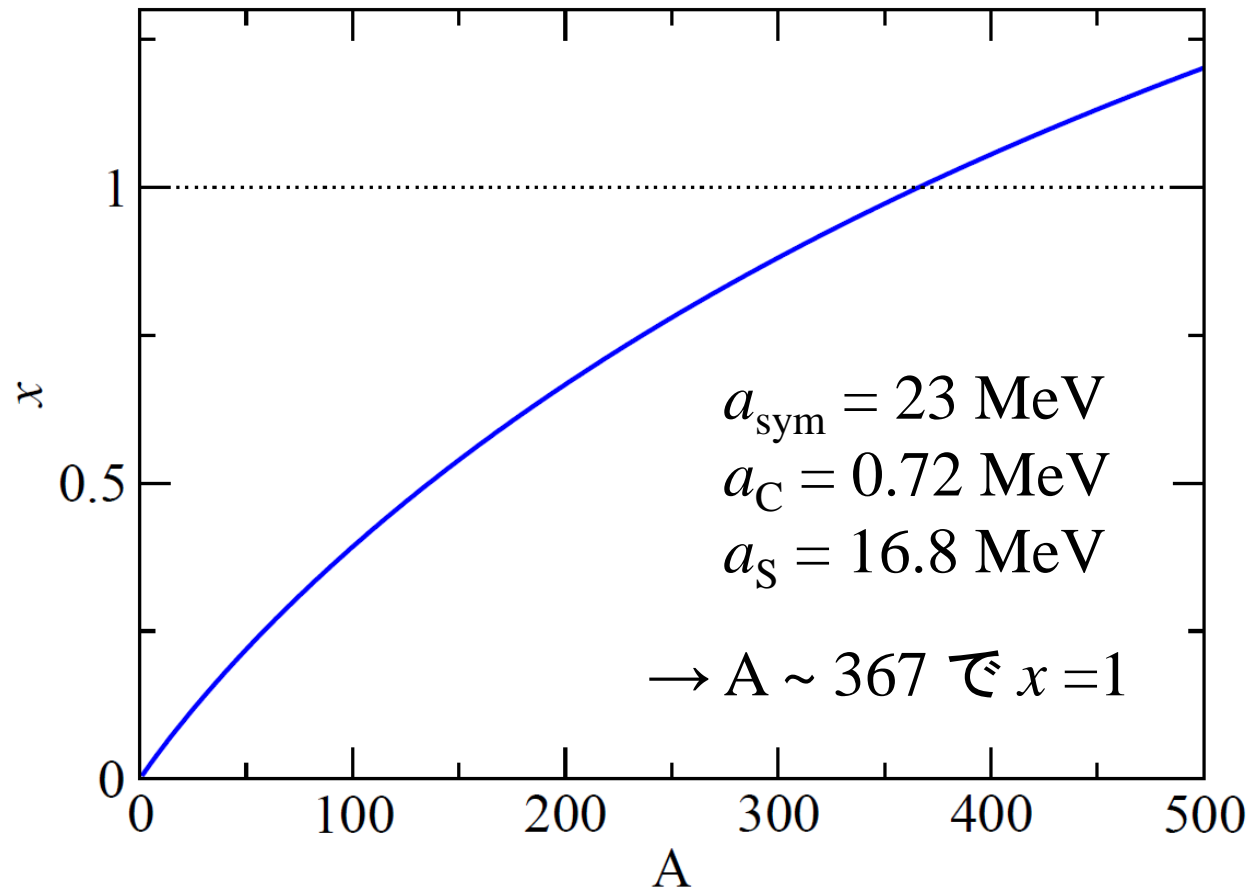
$$E_S^{(0)} = +a_S A^{2/3} \sim 20 A^{2/3} \quad (\text{MeV})$$

$$E_C^{(0)} = +a_C \frac{Z^2}{A^{1/3}} \sim 0.751 \frac{Z^2}{A^{1/3}} \quad (\text{MeV})$$

$$\longrightarrow x \equiv \frac{E_C^{(0)}}{2E_S^{(0)}} = \frac{a_C}{2a_S} \cdot \frac{Z^2}{A} \sim \frac{1}{53.3} \cdot \frac{Z^2}{A}$$

$$Z = \frac{4a_{\text{sym}}}{2a_{\text{C}}/A^{1/3} + 8a_{\text{sym}}/A} \quad \leftarrow \quad \left. \frac{\partial m}{\partial Z} \right|_{A=\text{const.}} = 0$$

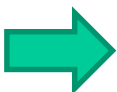
$$x \equiv \frac{E_{\text{C}}^{(0)}}{2E_{\text{S}}^{(0)}} = \frac{a_{\text{C}}}{2a_{\text{S}}} \cdot \frac{Z^2}{A}$$



原子核の表面振動

$$E_{\text{surf}} = E_{\text{surf}}^{(0)} \left(1 + \frac{2}{5} \epsilon^2 + \dots \right)$$

$$E_C = E_C^{(0)} \left(1 - \frac{1}{5} \epsilon^2 + \dots \right)$$



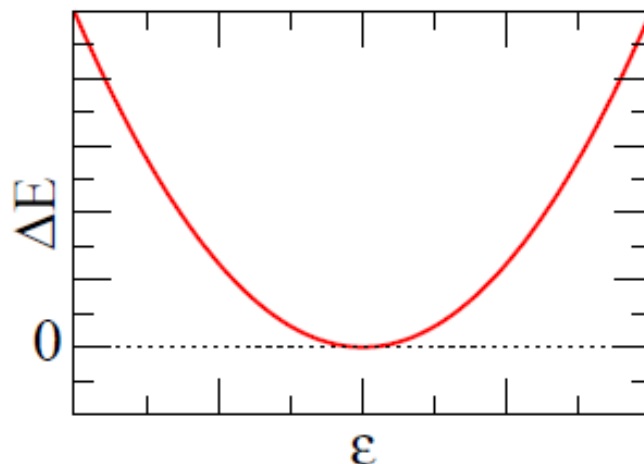
$$\Delta E = E_{\text{surf}}^{(0)} \cdot \frac{2}{5} (1 - x) \epsilon^2$$

* 原子核が安定に存在するためには
 $x < 1$ が必要

$$x \equiv \frac{E_C^{(0)}}{2E_{\text{surf}}^{(0)}}$$

(fissility パラメーター)

ϵ^2 に比例するようなポテンシャル



原子核の表面振動

$$E_{\text{surf}} = E_{\text{surf}}^{(0)} \left(1 + \frac{2}{5} \epsilon^2 + \dots \right)$$

$$E_C = E_C^{(0)} \left(1 - \frac{1}{5} \epsilon^2 + \dots \right)$$

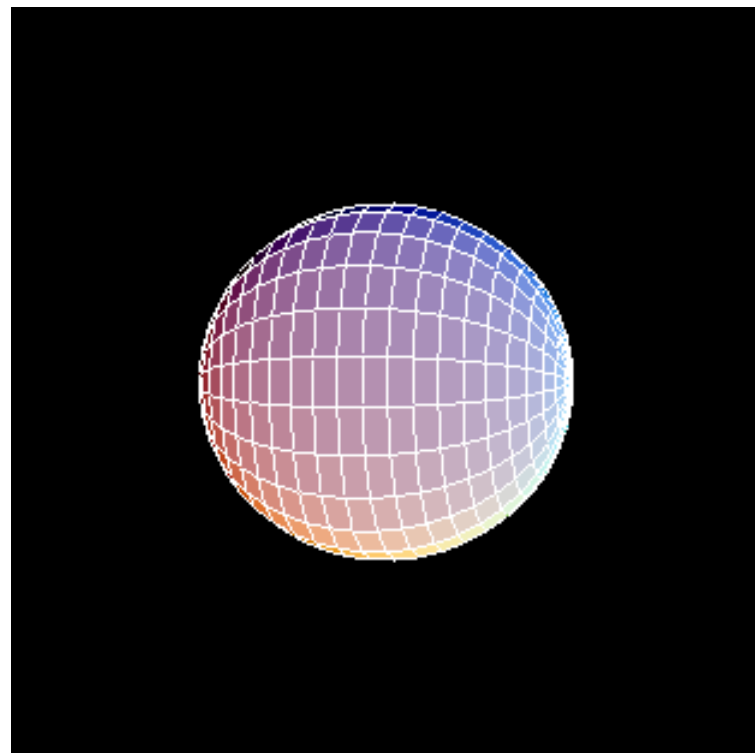
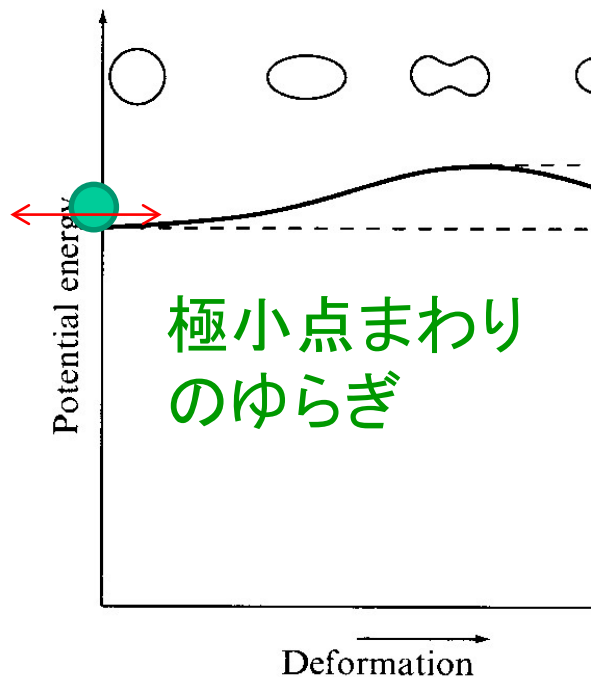


$$\Delta E = E_{\text{surf}}^{(0)} \cdot \frac{2}{5} (1 - x) \epsilon^2$$

$$x \equiv \frac{E_C^{(0)}}{2E_{\text{surf}}^{(0)}}$$

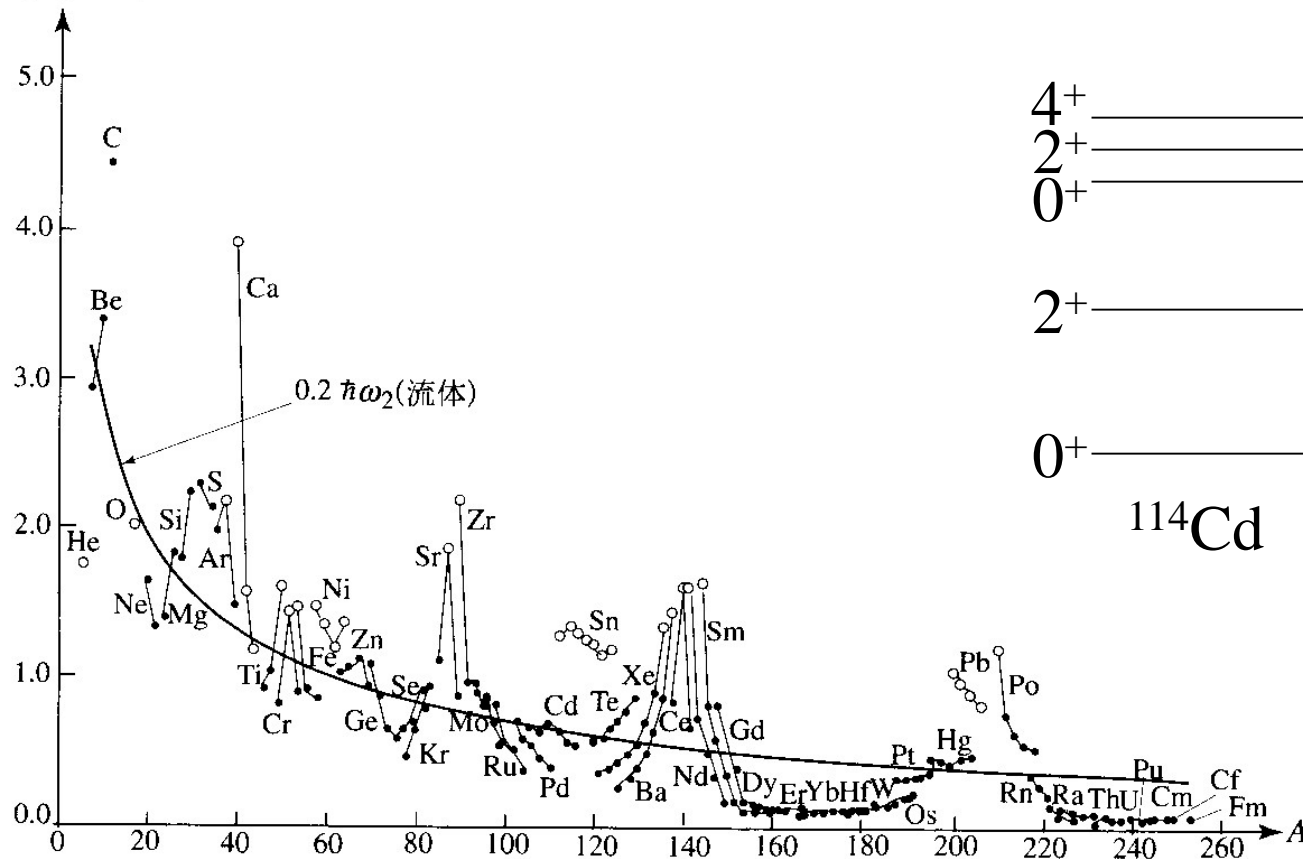
(fissility パラメーター)

* 原子核が安定に存在するためには
 $x < 1$ が必要



様々な原子核で調和振動子に近いスペクトル → 振動運動

E_{2^+} (MeV)

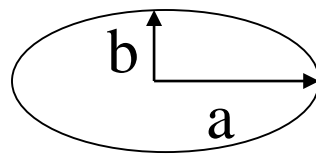
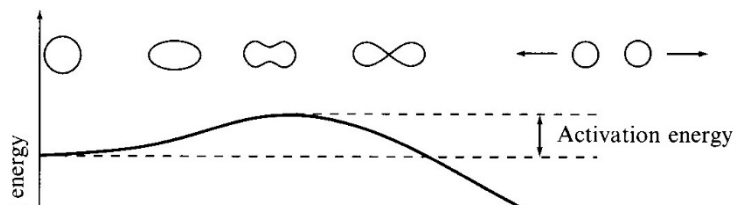


4+	_____	1.282 MeV
2+	_____	1.208 MeV
0+	_____	1.133 MeV
2+	_____	0.558 MeV
0+	_____	
114Cd		

図 3.2 偶々核の第 1 励起 2+ 状態の励起エネルギー

次回もう少し詳しく。
 (なぜ、第二励起状態
 のスピンの 0, 2, 4 になるのか? など)

もっと一般には:



$$a = R \cdot (1 + \epsilon)$$

$$b = R \cdot (1 + \epsilon)^{-1/2}$$

$$\text{一般的に, } R(\theta, \phi) = R_0 \left(1 + \sum_{\lambda, \mu} \alpha_{\lambda\mu} Y_{\lambda\mu}^*(\theta, \phi) \right)$$

(回転楕円体は $\lambda = 2, \mu = 0$ に相当)

回転楕円体の時と同じように表面エネルギー、クーロンエネルギーを計算すると:

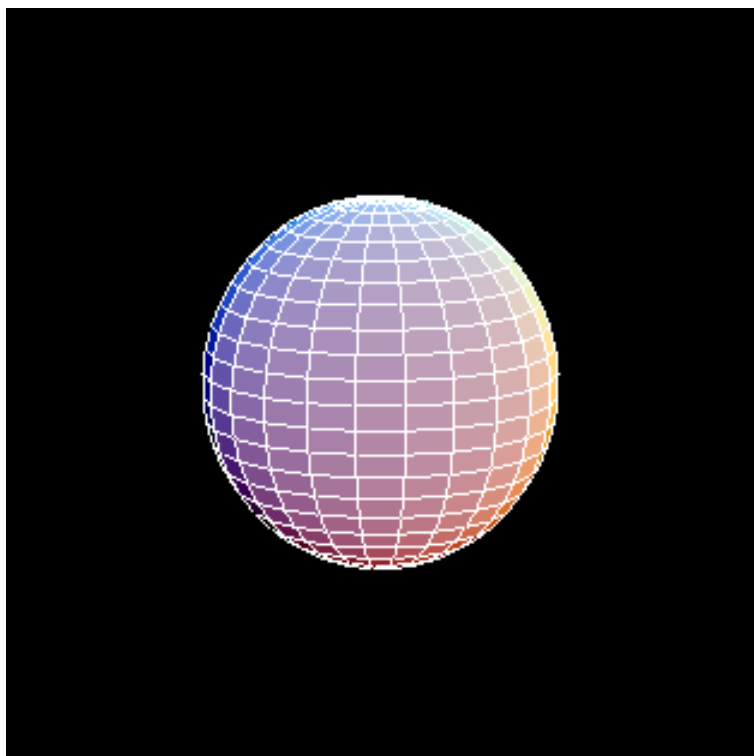
$$V \sim \frac{1}{2} \sum_{\lambda, \mu} C_{\lambda} |\alpha_{\lambda\mu}|^2$$



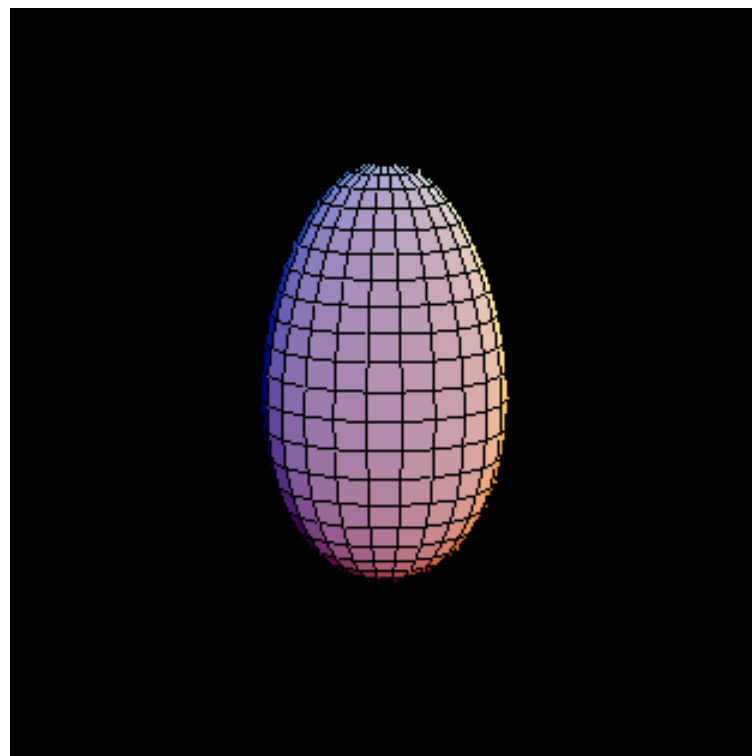
量子化: 調和振動子

$$R(\theta, \phi) = R_0 \left(1 + \sum_{\lambda, \mu} \alpha_{\lambda\mu} Y_{\lambda\mu}^*(\theta, \phi) \right)$$

$$V \sim \frac{1}{2} \sum_{\lambda, \mu} C_{\lambda} |\alpha_{\lambda\mu}|^2$$



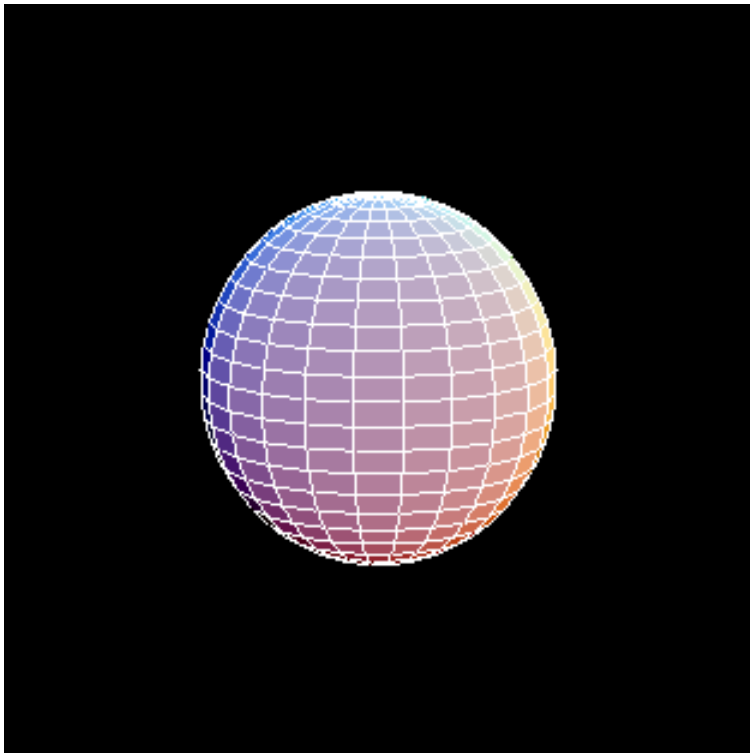
$\lambda=2$: 四重極型振動



$\lambda=3$: 八重極型振動

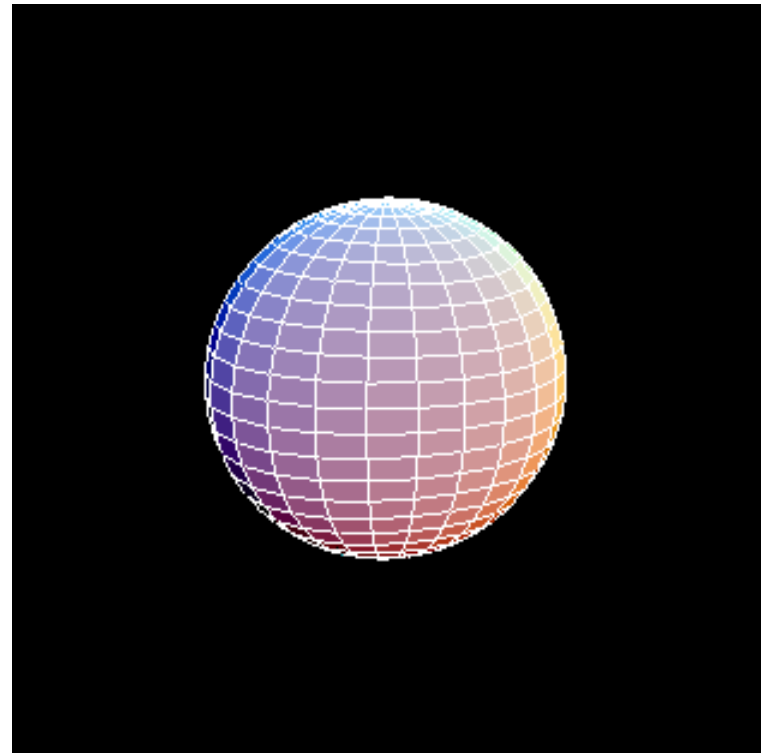
$$R(\theta, \phi) = R_0 \left(1 + \sum_{\lambda, \mu} \alpha_{\lambda\mu} Y_{\lambda\mu}^*(\theta, \phi) \right)$$

$$V \sim \frac{1}{2} \sum_{\lambda, \mu} C_{\lambda} |\alpha_{\lambda\mu}|^2$$



Y_{20} 型振動

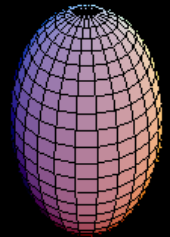
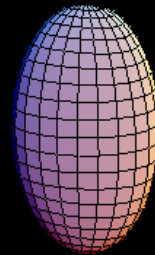
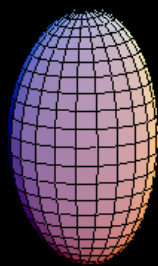
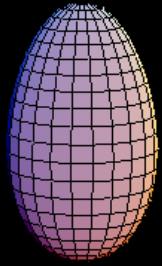
$$\lambda=2, \mu=0$$



Y_{22} 型振動

$$\lambda=2, \mu = +/- 2$$

$$R(\theta, \phi) = R_0 \left(1 + \sum_{\lambda, \mu} \alpha_{\lambda\mu} Y_{\lambda\mu}^*(\theta, \phi) \right) \quad V \sim \frac{1}{2} \sum_{\lambda, \mu} C_{\lambda} |\alpha_{\lambda\mu}|^2$$



Y_{30} 型振動

Y_{31} 型振動

Y_{32} 型振動

Y_{33} 型振動

$\lambda=3, \mu=0$

$\lambda=3, \mu = +/- 1$

$\lambda=3, \mu = +/- 2$

$\lambda=3, \mu = +/- 3$

どのくらいのエネルギーを与えれば原子核は振動しはじめるのか？

↔ 振動の励起エネルギー

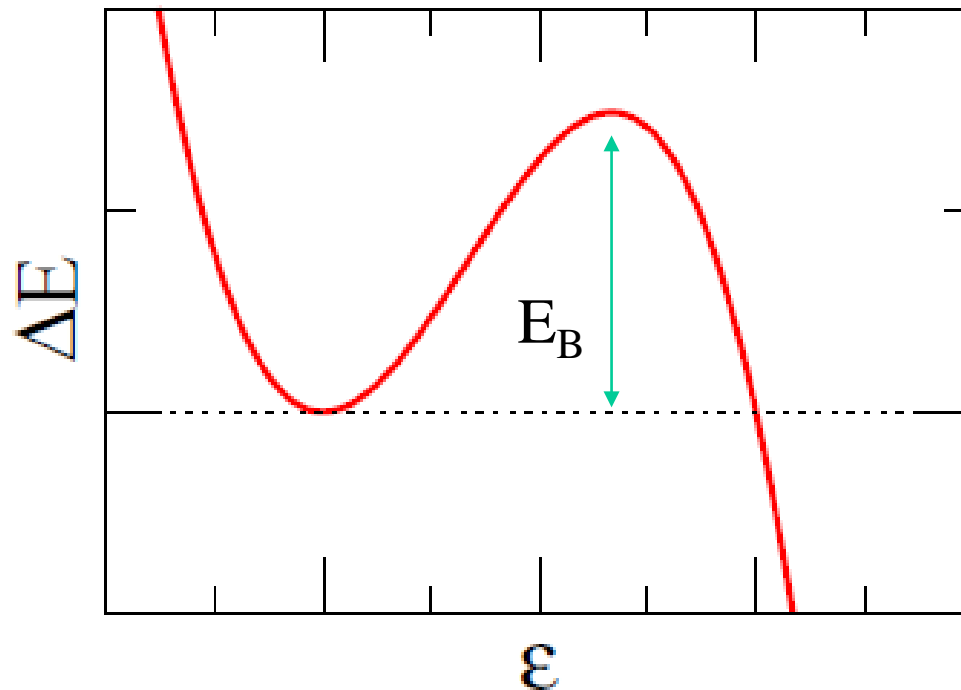
ムービー: 在田謙一郎氏 (名古屋工大)

$$E_S + E_C - E_S^{(0)} - E_C^{(0)}$$

$$= \left(\frac{2}{5} E_S^{(0)} - \frac{1}{5} E_C^{(0)} \right) \epsilon^2 - \frac{4}{105} \left(E_S^{(0)} + E_C^{(0)} \right) \epsilon^3 + \dots$$

■ 次に3次まで

$$\Delta E = E_S^{(0)} \left\{ \frac{2}{5} (1 - x) \epsilon^2 - \frac{4}{105} (1 + 2x) \epsilon^3 + \dots \right\}$$



表面エネルギーとクーロンエネルギーの競合によるポテンシャル障壁

ポテンシャル障壁の高さ (^{236}U の場合)

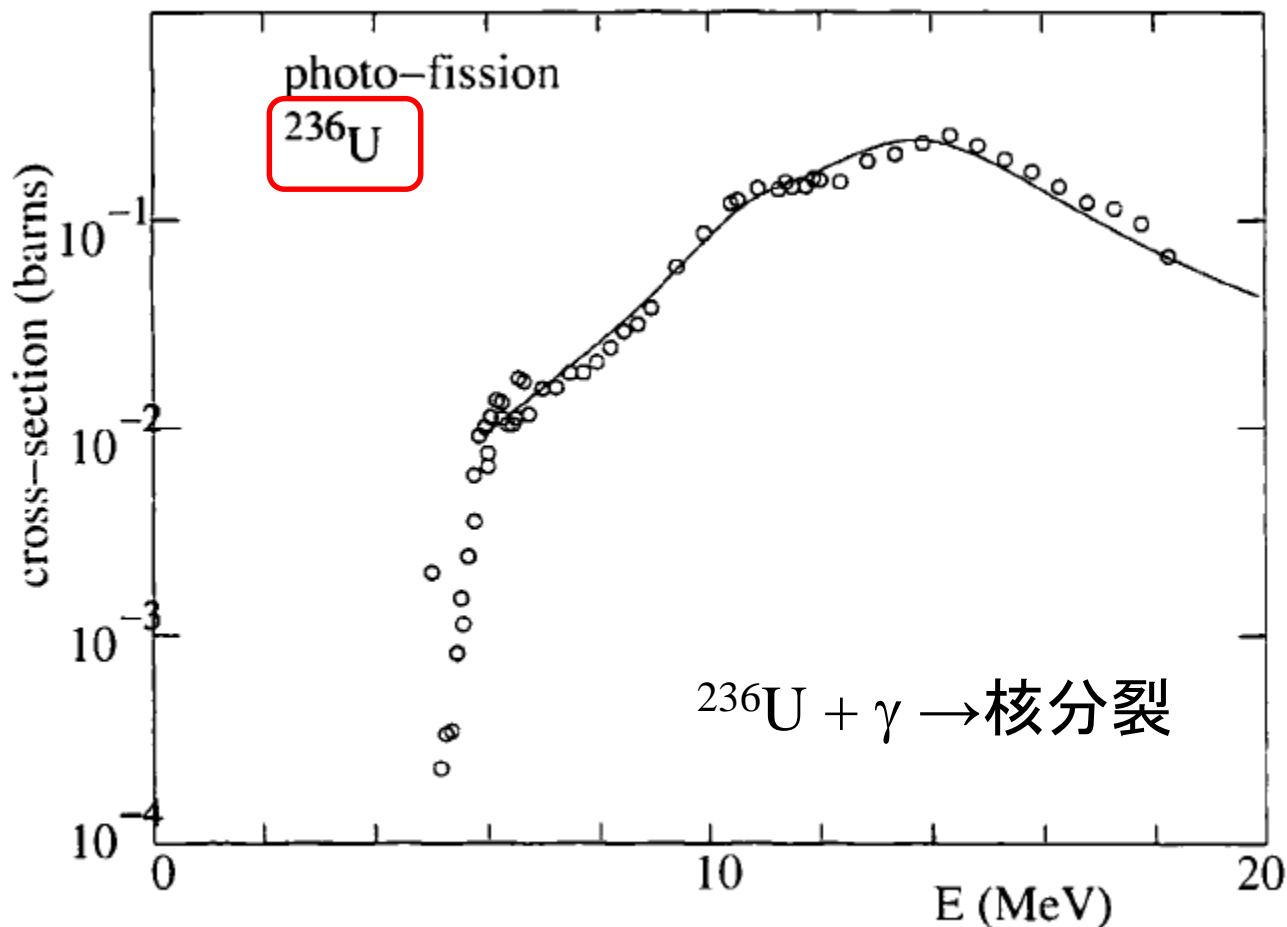
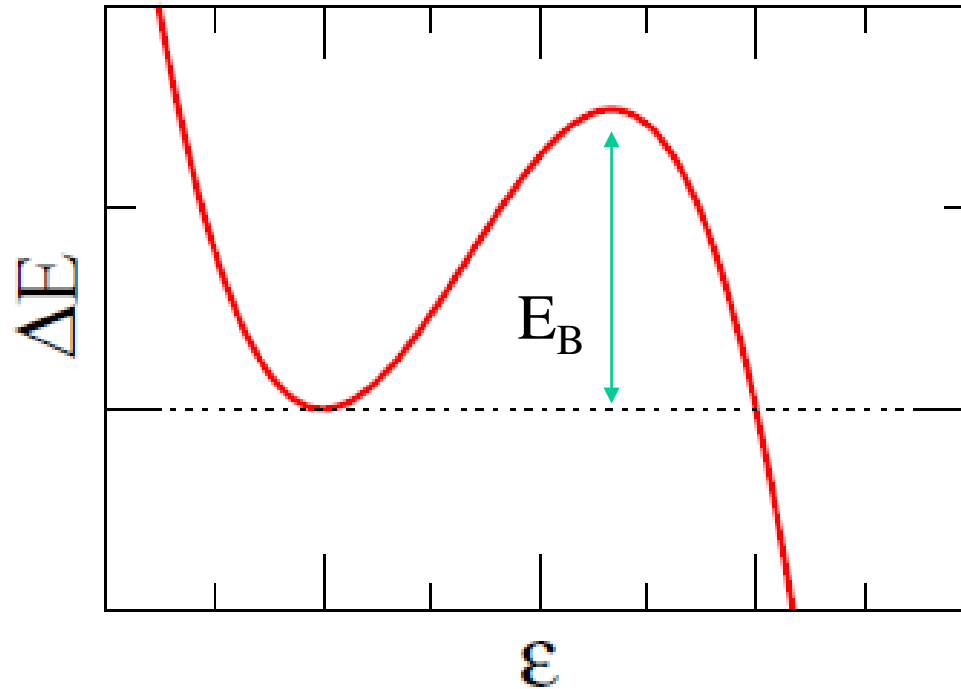


Fig. 6.5. Cross-section for $\gamma^{236}\text{U} \rightarrow \text{fission}$ [30].

photo-fission (光核分裂)の断面積: フォトンのエネルギーが 5.7 MeV のあたりから断面積が急に立ち上がる (障壁の高さが 5.7 MeV くらい)

$$\Delta E = E_S^{(0)} \left\{ \frac{2}{5}(1-x)\epsilon^2 - \frac{4}{105}(1+2x)\epsilon^3 + \dots \right\}$$



$$E_B = \frac{98}{15} \cdot \frac{(1-x)^3}{(1+2x)^2} \cdot E_S^{(0)}$$

重い核ほど障壁は低くなる

← クーロンの効果が大きくなる

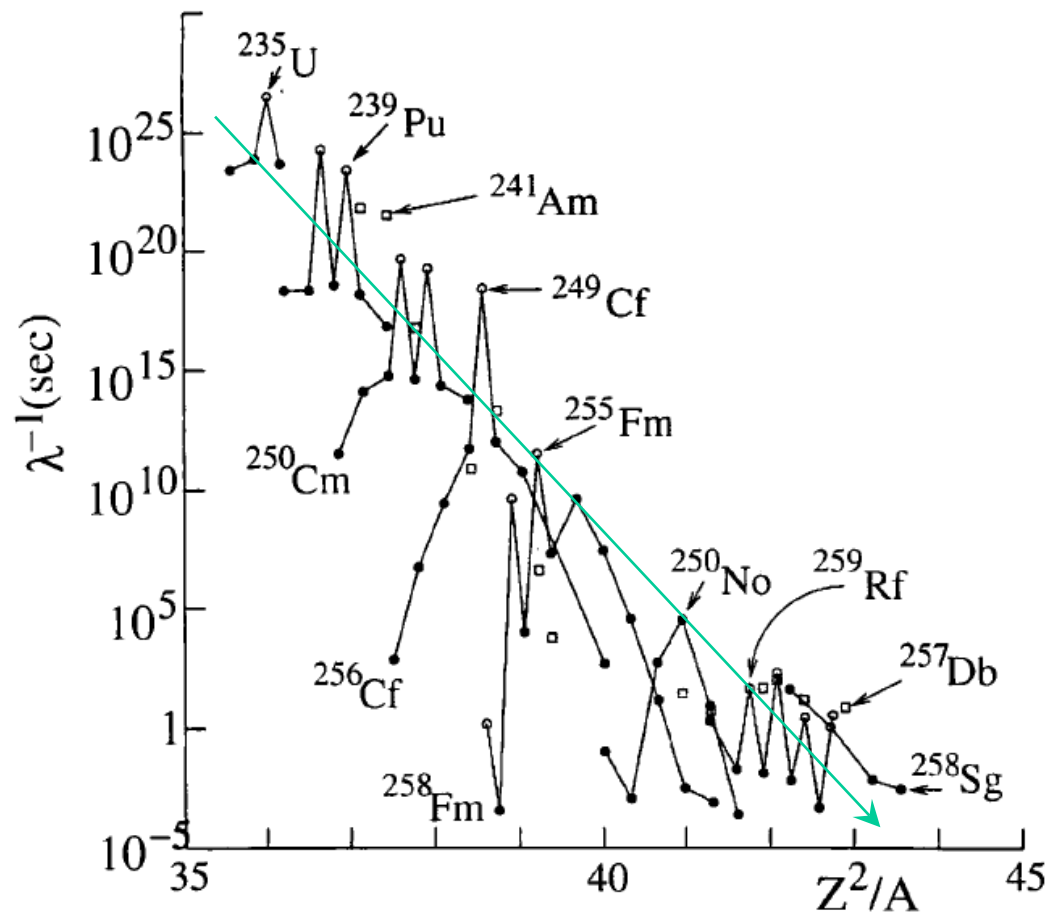
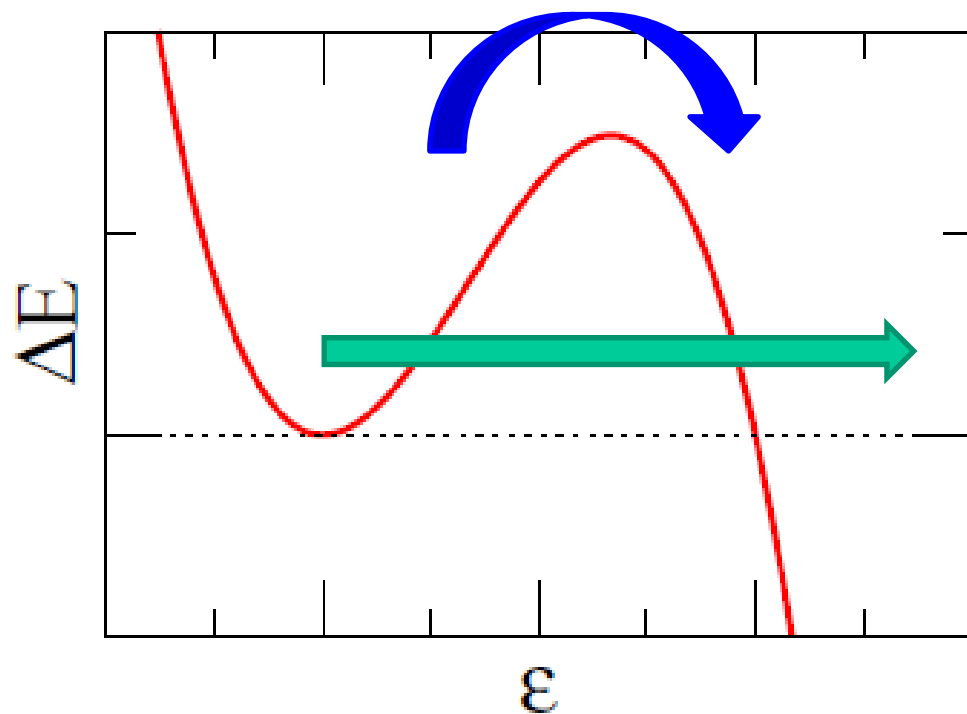


Fig. 6.4. Spontaneous fission lifetimes as a function of the fission parameter Z^2/A for selected nuclei. Circles are for even- Z nuclei. filled circles for even-even nuclei and open circles for even-odd nuclei. Squares are for odd- Z nuclei.

自発核分裂の寿命: Z^2/A が大きくなるほど、核分裂障壁が低くなって寿命が短くなる

2種類の核分裂



①誘起核分裂(熱的崩壊)

cf. 化学反応
(アレニウスの式)

②自発核分裂

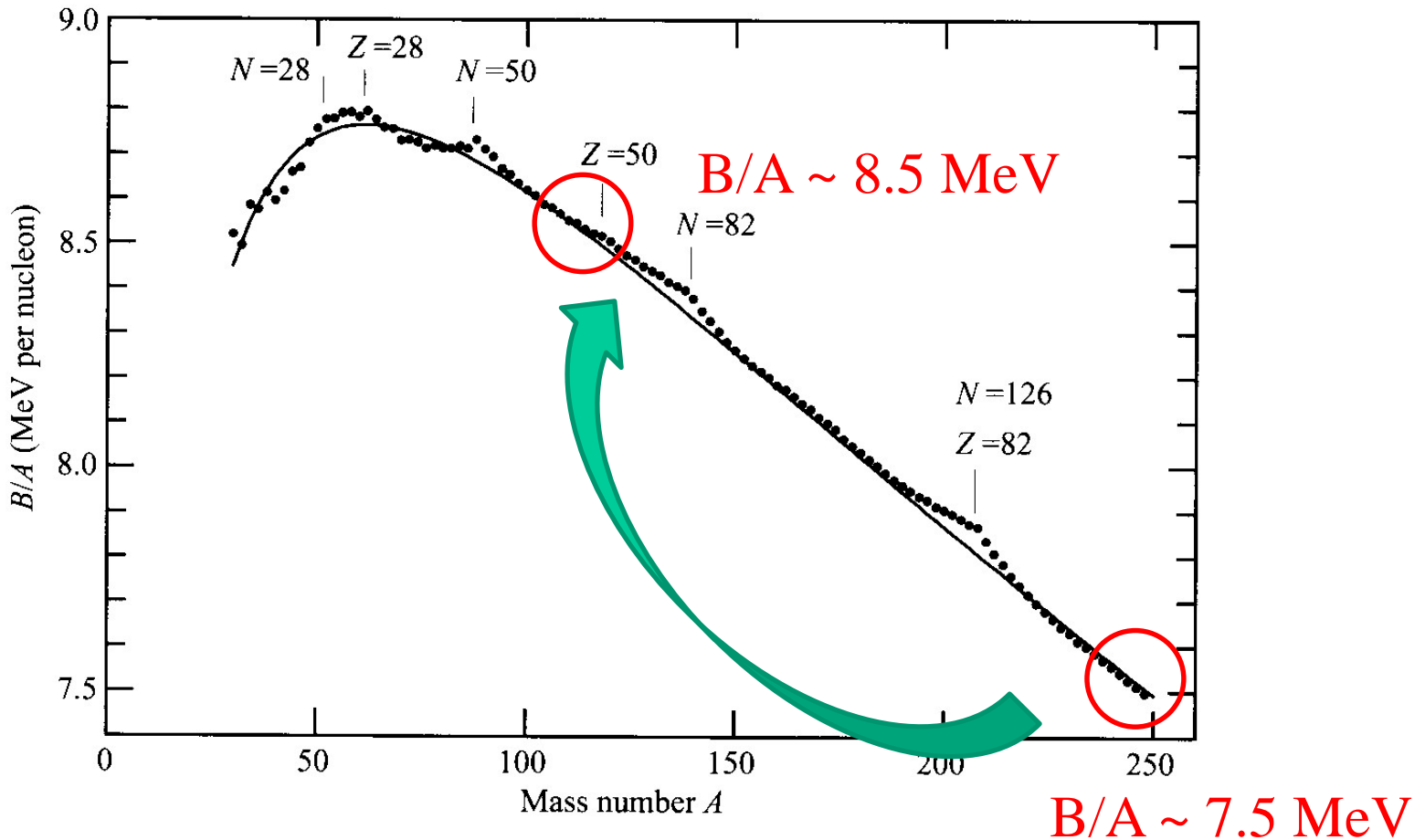


トンネル効果



後でもう少し詳しく
(アルファ崩壊)

エネルギーの解放



$(A=240) \rightarrow 2 \times (A=120)$

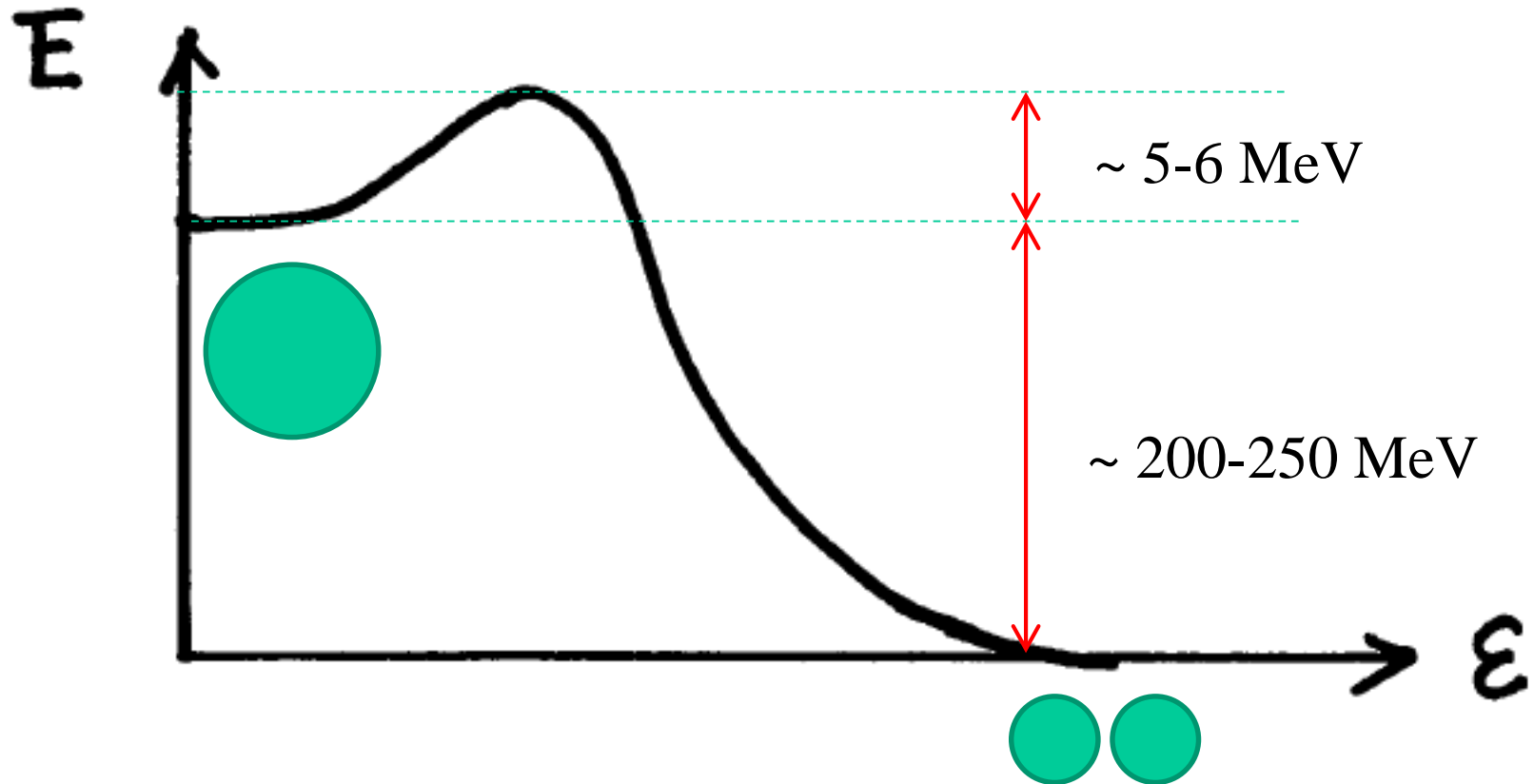
$$\Delta E = -7.5 \times 240 + 8.5 \times 120 \times 2 \sim 240$$

(MeV)

エネルギーの解放

$(A=240) \rightarrow 2 \times (A=120)$

$$\Delta E = -7.5 \times 240 + 8.5 \times 120 \times 2 \sim 240 \quad (\text{MeV})$$



どうして ^{235}U が“燃え”て ^{238}U が“燃え”ないのか(原発)?

天然ウラン:

^{238}U 99.2742%

^{235}U 0.7204%

^{234}U 0.0054%

このうち、 ^{235}U だけが「燃える」

$^{235}\text{U} + \text{n} \rightarrow ^{236}\text{U}^* \rightarrow$ 核分裂

$^{238}\text{U} + \text{n} \rightarrow ^{239}\text{U}^* \rightarrow$ 核分裂 はほとんど無視できる確率

なぜか?

どうして ^{235}U が“燃え”て ^{238}U が“燃え”ないのか(原発)?

障壁の高さが違うため?



そうではない

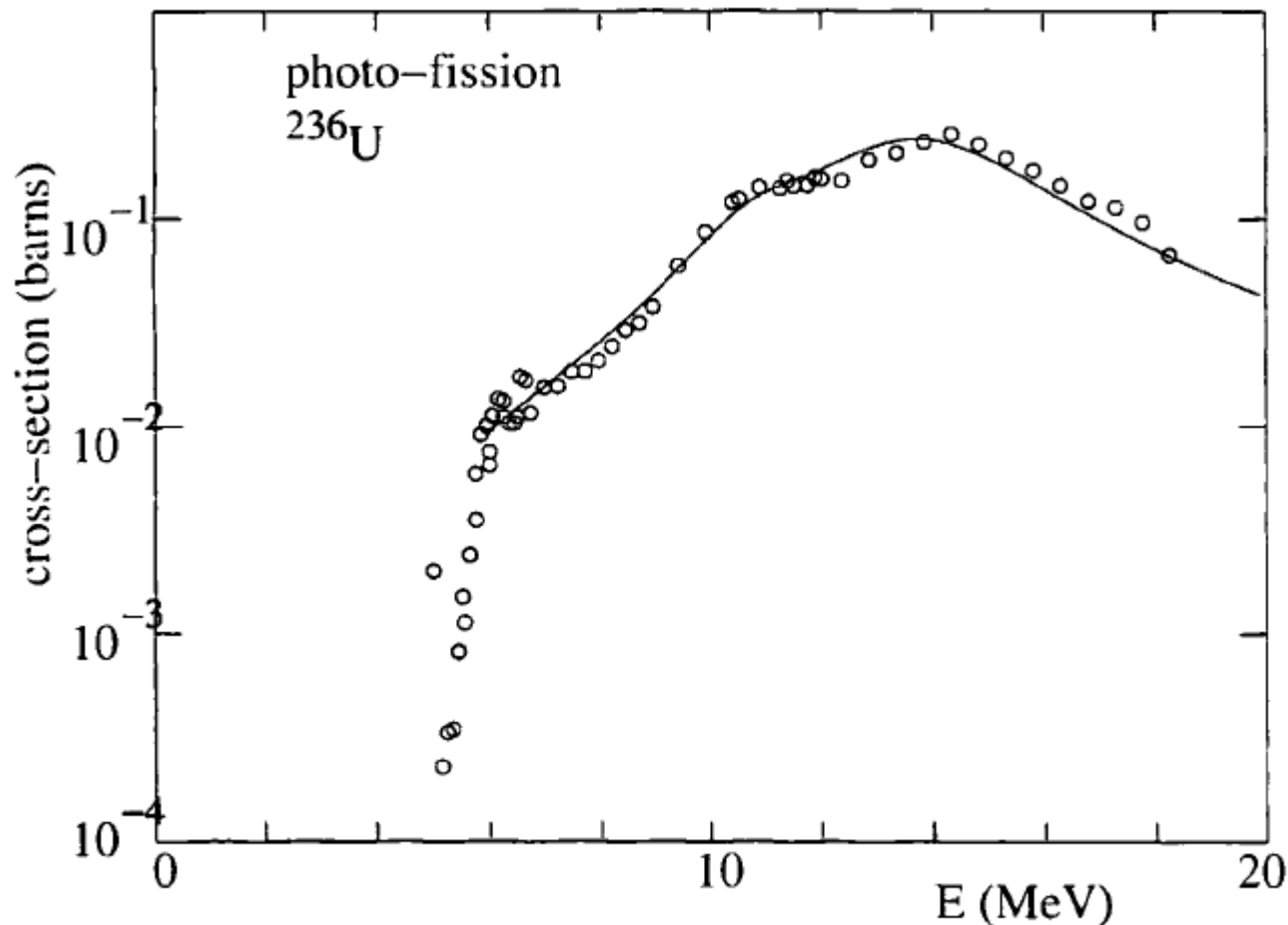


Fig. 6.5. Cross-section for $\gamma^{236}\text{U} \rightarrow$ fission [30].

photo-fission (光核分裂)の断面積: フォトンのエネルギーが 5.7 MeV のあたりから断面積が急に立ち上がる(障壁の高さが 5.7 MeV くらい)

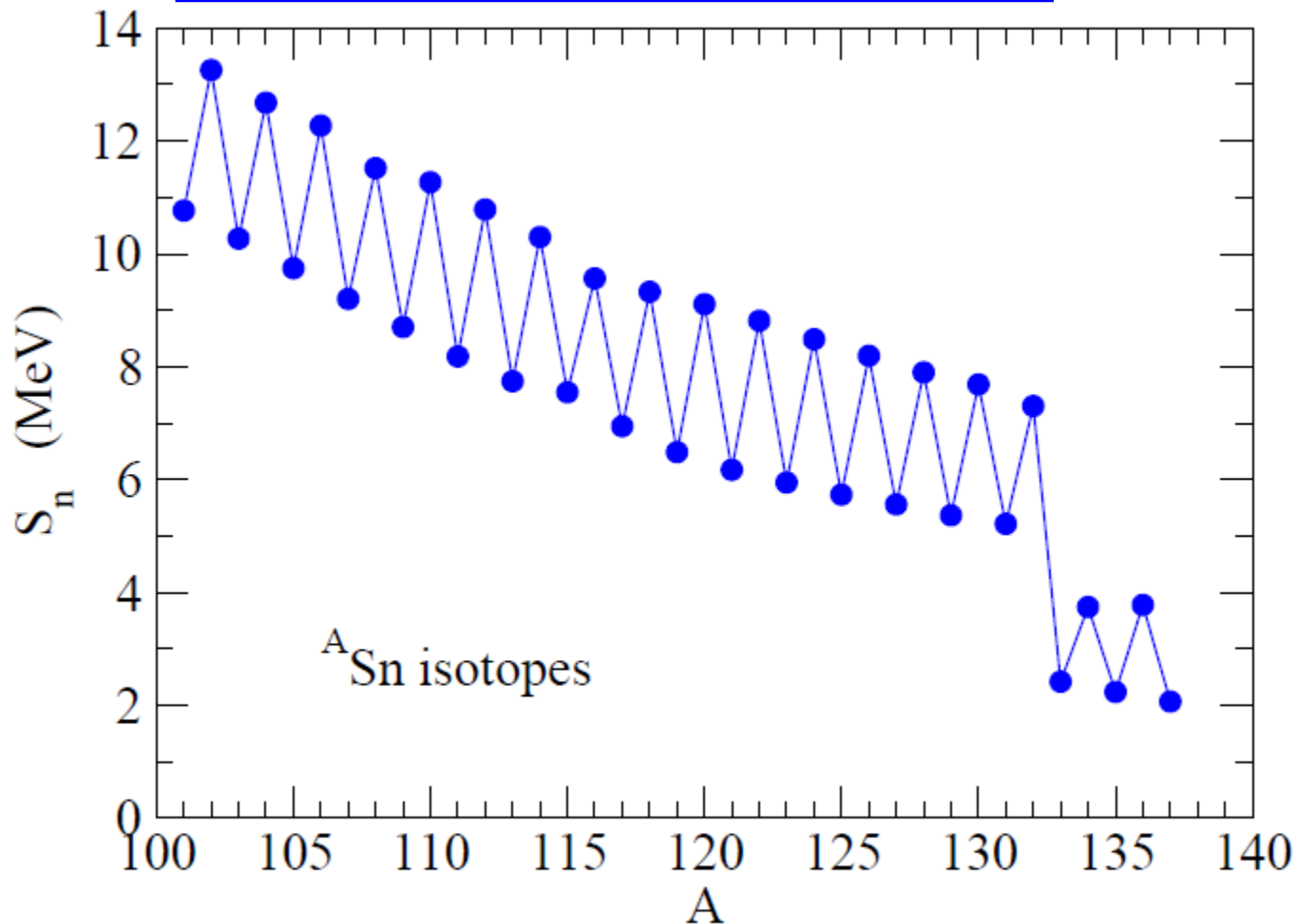
* ^{239}U の核分裂障壁の高さは同程度 (6.0 MeV)

^{236}U と ^{239}U で大きく違うのが1中性子分離エネルギー

$$S_n(^{236}\text{U}) = 6.3 \text{ MeV}$$

$$S_n(^{239}\text{U}) = 4.8 \text{ MeV}$$

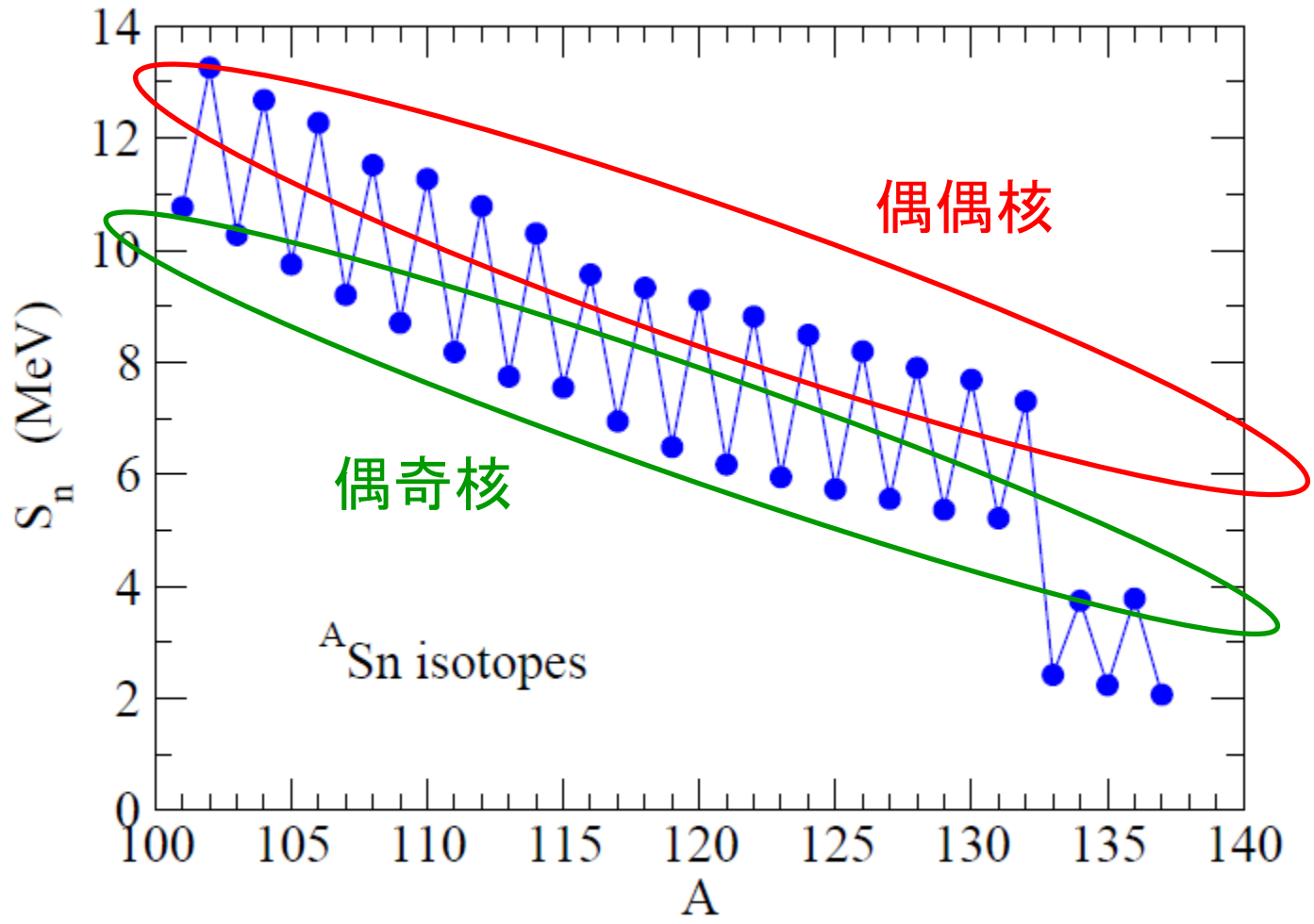
分離エネルギーにおける偶奇効果



1n separation energy: $S_n(A, Z) = B(A, Z) - B(A-1, Z)$

偶数個の中性子から1つ中性子
 を取る方が奇数個から取るより
 大きなエネルギーが必要: 対相関

even-odd staggering



1n separation energy: $S_n (A,Z) = B(A,Z) - B(A-1,Z)$

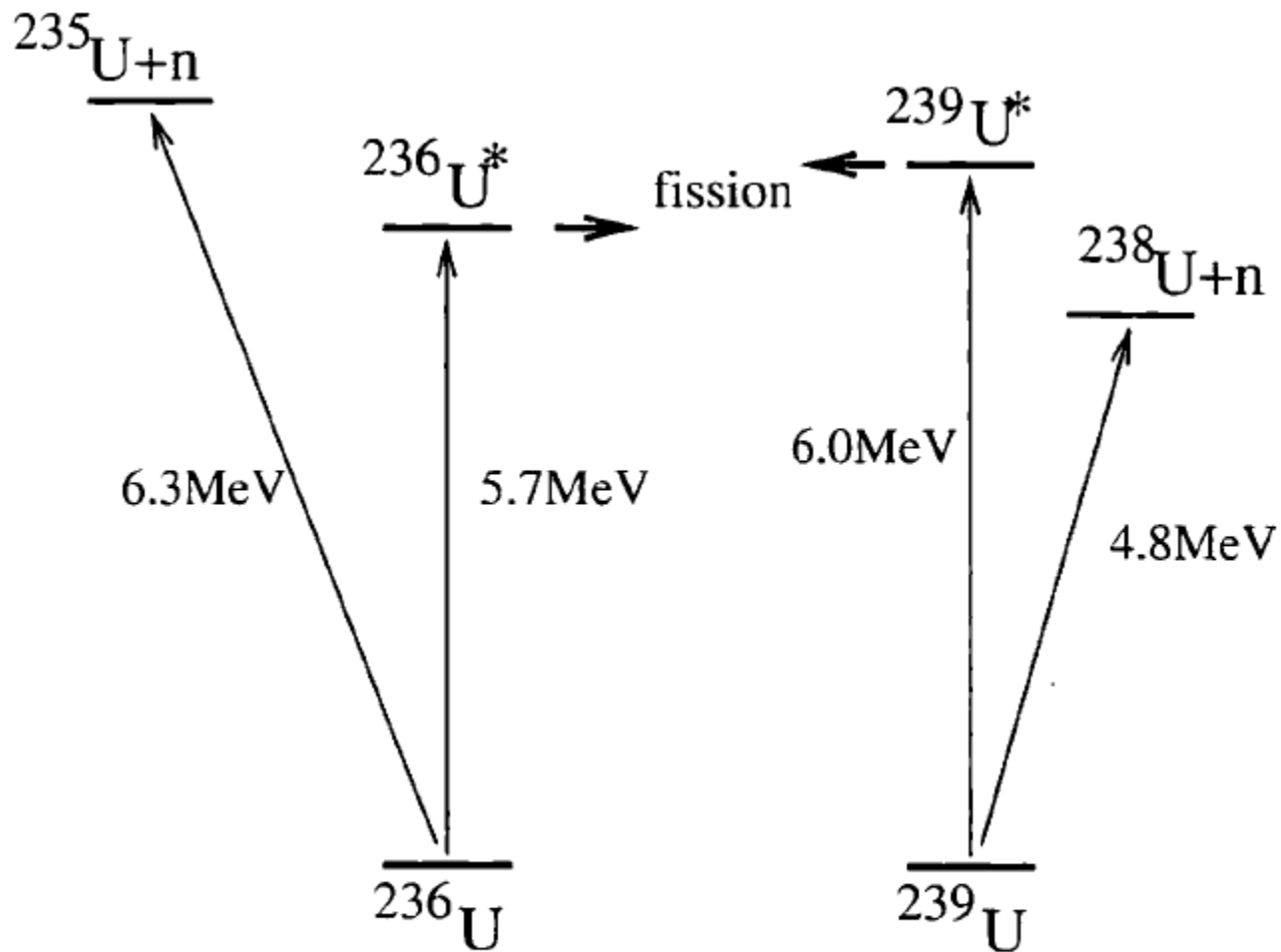
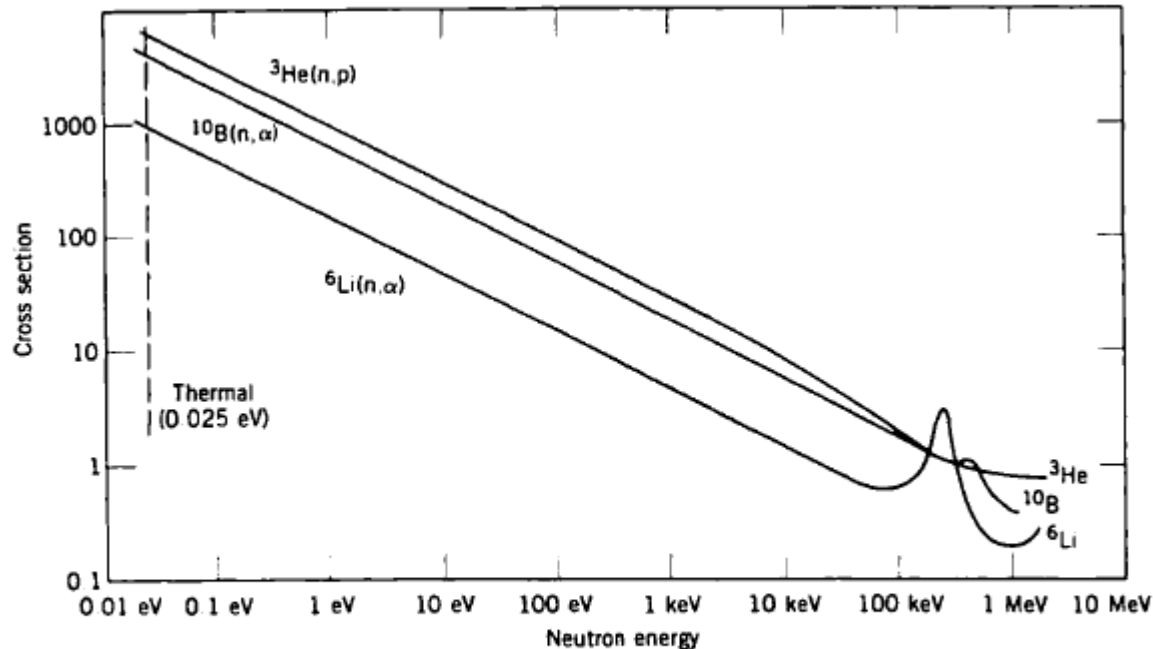


Fig. 6.6. Levels of the systems $A = 236$ and $A = 239$ involved in the fission of ^{236}U and ^{239}U . The addition of a motionless (or thermal) neutron to ^{235}U can lead to the fission of ^{236}U . On the other hand, fission of ^{239}U requires the addition of a neutron of kinetic energy $T_n = 6.0 - 4.8 = 1.2\text{MeV}$.

核分裂障壁の高さと1中性子分離エネルギーの関係

- 中性子の入射エネルギーをあげると核分裂障壁を越えれる²³⁹U の励起状態を作ることができるが、今度は中性子吸収の確率が小さくなって核分裂の効率が落ちる。



* 1 b = 100 fm²

Figure 12.5 Neutron cross sections for ³He(n,p), ¹⁰B(n,α), and ⁶Li(n,α). The cross section shows the 1/v behavior for $E < 1$ keV, but begins to show resonances above 100 keV.

吸収断面積は $1/v$ に比例 ($1/v$ 則)

熱中性子 (0.025 eV) による核分裂断面積: 532 +/- 4 (b)

速い中性子 (~ 1 MeV) による核分裂断面積: 0.29 (b)

